

2 *Tíhové pole Země a jeho zdroje*

2.1 Úvod

Vlastnosti tíhového pole těsně souvisejí s tvarem Země. Úloha určení tvaru a rozměrů Země má význam vědecký i praktický. Nejdříve, na základě zkušeností z nejbližšího okolí, byla Země pokládána za rovinou desku. První představa sférické Země pochází od Pythagora (6. stol. p. n. l.), který k ní dospěl z přesvědčení dokonalého uspořádání světa; za dokonalý geometrický tvar považoval kouli a odtud odvozoval kulový tvar Země. První vědecký pokus změřit obvod Země provedl Eratosthenes (3. stol. p. n. l.). Původcem dynamické koncepce tvaru Země a představy elipsoidální Země je I. Newton, který formuloval zákon obecné přitažlivosti a usoudil, že rotující Země by měla být více zploštělá na pólech než na rovníku.

Geometrická úloha určení tvaru Země je tedy řešena déle než dvě tisíciletí a dynamická úloha je starší než tři století. Další rozvoj poznání tíhového pole Země byl ovlivněn pracemi Clairauta, Legendra, Laplace, Stokesa, Brunse, Helmerta, Jeffreyse, Moloděnského a pracemi mnoha dalších badatelů. V době družicových pozorování vznikají některé nové aspekty související s otevřením nových možností studia tíhového pole Země. Předně, zemské gravitační pole je nejvýznamnější silou, která působí na pohyb družice, a tedy jeho detailní znalost je důležitá pro pohyb družice kolem planety. Obráceně také pozorování drah družic poskytují podrobná data o struktuře pole, která by nebylo možno získat pozemskými klasickými metodami v tak velkém rozsahu i detailu. Existence těchto dat otvírá nové možnosti v teorii tíhového pole Země. Jde především o studium souvislostí mezi podrobnou strukturou tíhového pole Země a rozložením hustoty v zemském tělese, zejména o studiu laterálních variací hustoty. Detailní znalost rozložení hustoty, tedy i znalost odchylek od hydrostatického uspořádání, má zase zásadní význam pro studium dynamických procesů probíhajících v Zemi a s nimi spojených nehydrostatických napětí.

V této kapitole se budeme zabývat vlastnostmi tíhového pole Země, které souvisejí přímo s jeho popisem pomocí Stokesových parametrů, o jejichž určování družicovými metodami pojednává předcházející kapitola. Úmyslně pomíjíme některé klasické části teorie tíhového pole Země, které nemají vztah k druži-

covým metodám, jako např. Stokesův teorém, hypotéza izostáze, které jsou popsány v řadě monografií a učebnic [20]. Na rozdíl od obvyklého zpracování věnujeme zvýšený zájem popisu vlastností hladinových ploch, zejména geoidu, které se dají odvodit z rozvoje průvodiče hladinové plochy do řady sférických funkcí. Značná pozornost je věnována vyšetřování omezení pro trojrozměrnou distribuci hustoty v Zemi, plynoucí ze znalosti Stokesových parametrů do dosti vysokého stupně [46], [47].

I když jsme si vědomi časové proměnnosti tíhového pole Země a toho, že Stokesovy parametry nejsou konstantami, ale parametry závislými na čase, pomíjíme v této kapitole tuto skutečnost. Časově proměnné krátkoperiodické složce pole související s rotací a se slapy Země budou věnovány další kapitoly. Pokud jde o dlouhoperiodické části pole související s vnitřní dynamikou planety, vymykají se koncepcí této knihy a spadají do geodynamiky, což je problematika vyžadující samostatné dílo.

2.2 Gravitační a tíhový potenciál

Tíhové pole je konzervativní silové pole a jeho potenciál W (geopotenciál, tíhový potenciál) ve vnějším bodu P je roven součtu

$$(2.1) \quad W(P) = V(P) + Q(P) + \delta W(P),$$

kde V je gravitační potenciál, Q potenciál odstředivých sil a δW jeho proměnná část působená volnou nutací (pohybem zemských pólů) a slapovery působením Měsice a Slunce.*.) Proměnné složce se budeme věnovat v kap. 3, 4 a 5. Gravitační potenciál je harmonickou funkcí souřadnic, t. j. splňuje Laplaceovu rovnici

$$(2.2) \quad \Delta V(P) = 0.$$

Ve sférickém systému souřadnic $(\varrho, \vartheta = 90^\circ - \Phi, \Lambda)$ s počátkem v těžišti Země existují dvě nezávislá parciální řešení rovnice (2.2) $\varrho^j Y_{jm}(\vartheta, \Lambda)$ a $\varrho^{-j-1} Y_{jm}(\vartheta, \Lambda)$, kde $Y_{jm}(\vartheta, \Lambda)$ jsou sférické funkce. První řešení má singularitu v nekonečnu, takže ve vnějším bodu nevyhovuje. Obecné řešení (2.2) zapíšeme ve tvaru

$$(2.3) \quad V(\varrho, \vartheta, \Lambda) = \frac{GM}{\varrho} \sum_{j=0}^{\infty} \left(\frac{a_0}{\varrho} \right)^j \sum_{m=-j}^j A_{jm} Y_{jm}(\vartheta, \Lambda),$$

kde A_{jm} jsou komplexní Stokesovy parametry, ostatní symboly mají obvyklý

*) Slapovery složka obsahuje i konstantní část, kterou zde rovněž zahrneme do δW .

význam. Sférické funkce $Y_{jm}(\vartheta, \Lambda)$ souvisejí s přidruženými Legendrovými funkcemi $P_j^{(m)}(\cos \vartheta)$, zavedenými vztahem (1.70), takto ($-j \leq m \leq j$)

$$(2.4) \quad Y_{jm}(\vartheta, \Lambda) = \exp(i m \Lambda) \left\{ (-1)^m \sqrt{\left(\frac{2j+1}{4\pi}\right) \frac{(j-m)!}{(j+m)!}} P_j^{(m)}(\cos \vartheta) \right\}.$$

Sférické funkce $Y_{jm}(\vartheta, \Lambda)$ jsou plně normovány, tj.

$$(2.5) \quad \int_0^{2\pi} d\Lambda \int_0^\pi \sin \vartheta Y_{jm}(\vartheta, \Lambda) Y_{j'm'}^*(\vartheta, \Lambda) d\vartheta = \delta_{jj'} \delta_{mm'}.$$

Dále pro ně platí

$$(2.6) \quad Y_{jm}^*(\vartheta, \Lambda) = Y_{jm}(\vartheta, -\Lambda) = (-1)^m Y_{j-m}(\vartheta, \Lambda).$$

Využijeme-li hořejších vztahů, můžeme řadu (2.3) pro reálný potenciál $V(P)$ upravit na tvar

$$(2.7) \quad V(\rho, \vartheta, \Lambda) = \frac{GM}{\rho} \left[1 + \sum_{j=1}^{\infty} \sum_{m=0}^j \left(\frac{a_0}{\rho} \right)^j (J_j^{(m)} \cos m\Lambda + S_j^{(m)} \sin m\Lambda) P_j^{(m)}(\cos \vartheta) \right].$$

Veličiny $J_j^{(m)}$, $S_j^{(m)}$ jsou Stokesovy parametry zavedené v kap. 1; s komplexními konstantami A_{jm} souvisejí prostřednictvím následujících převodních vztahů

$$(2.8) \quad \begin{aligned} A_{j0} &= \frac{2\sqrt{\pi}}{\sqrt{(2j+1)}} J_j^{(0)} = -\frac{2\sqrt{\pi}}{\sqrt{(2j+1)}} J_j, \\ A_{jm} &= (-1)^m \sqrt{(2\pi)} [J_j^{(m)} - iS_j^{(m)}]/N_j^{(m)}, \quad m > 0 \\ A_{j-m} &= \sqrt{(2\pi)} [J_j^{(m)} + iS_j^{(m)}]/N_j^{(m)}, \quad m > 0. \end{aligned}$$

Veličina $N_j^{(m)}$ byla zavedena vztahem (1.138).

Kromě reprezentací (2.3) a (2.7) se používá následující vyjádření pro vnější gravitační potenciál

$$(2.9) \quad V(\rho, \vartheta, \Lambda) = \frac{GM}{\rho} \sum_{j=0}^{\infty} \left(\frac{a_0}{\rho} \right)^j \sum_{m=0}^j [\bar{C}_{jm} \cos m\Lambda + \bar{S}_{jm} \sin m\Lambda] \bar{P}_j^m(\cos \vartheta),$$

kde přidružené Legendrovy funkce $\bar{P}_j^m(\cos \vartheta)$ mají následující vztah k dříve zavedeným funkcím $P_j^{(m)}(\cos \vartheta)$ (1.70)

$$(2.10) \quad \bar{P}_j^m(\cos \vartheta) = N_j^{(m)} P_j^{(m)}(\cos \vartheta),$$

takže parametry \bar{C}_{jm} , \bar{S}_{jm} souvisejí s parametry $J_j^{(m)}$, $S_j^{(m)}$, resp. $\bar{J}_j^{(m)}$, $\bar{S}_j^{(m)}$ takto:

$$(2.11) \quad \bar{C}_{jm} = J_j^{(m)}/N_j^{(m)} = \bar{J}_j^{(m)}; \quad \bar{S}_{jm} = S_j^{(m)}/N_j^{(m)} = \bar{S}_j^{(m)}.$$

Veličiny $\bar{J}_j^{(m)}$, $\bar{S}_j^{(m)}$ jsou tzv. plně normované Stokesovy parametry a vyjadřují se pomocí komplexních Stokesových parametrů takto:

$$(2.12) \quad \begin{aligned} A_{j0} &= 2\sqrt{(\pi)} \bar{J}_j^{(0)}, \\ A_{jm} &= \sqrt{(2\pi)(-1)^m} (\bar{J}_j^{(m)} - i\bar{S}_j^{(m)}), \quad m > 0 \\ A_{j-m} &= \sqrt{(2\pi)} (\bar{J}_j^{(m)} + i\bar{S}_j^{(m)}), \quad m > 0. \end{aligned}$$

Pro zjednodušení zápisu zavedeme symbol Ω pro úhlové sférické souřadnice (ϑ, Λ) , tj. $\Omega = (\vartheta, \Lambda)$, a symbolem $d\Omega$ budeme rozumět element prostorového úhlu

$$(2.13) \quad d\Omega = \sin \vartheta \, d\vartheta \, d\Lambda.$$

Pro pozdější potřebu explicitně vypíšeme sférické funkce $Y_{jm}(\Omega)$ do stupně $j = 2$

$$(2.14) \quad \begin{aligned} Y_{00}(\Omega) &= 1/(2\sqrt{\pi}); \quad Y_{10}(\Omega) = \frac{1}{2}\sqrt{\left(\frac{3}{\pi}\right)} \cos \vartheta; \\ Y_{20}(\Omega) &= \frac{1}{4}\sqrt{\left(\frac{5}{\pi}\right)} (3\cos^2 \vartheta - 1), \\ Y_{1\pm 1}(\Omega) &= \mp \frac{1}{2}\sqrt{\left(\frac{3}{2\pi}\right)} \sin \vartheta \exp(\pm i\Lambda), \\ Y_{2\pm 1}(\Omega) &= \mp \frac{1}{2}\sqrt{\left(\frac{3 \cdot 5}{2\pi}\right)} \cos \vartheta \sin \vartheta \exp(\pm i\Lambda), \\ Y_{2\pm 2}(\Omega) &= \frac{1}{4}\sqrt{\left(\frac{3 \cdot 5}{2\pi}\right)} \sin^2 \vartheta \exp(\pm 2i\Lambda). \end{aligned}$$

Potenciál odstředivých sil můžeme vyjádřit pomocí sférických funkcí $Y_{00}(\Omega)$, $Y_{20}(\Omega)$ a Helmertova parametru q

$$(2.15) \quad \begin{aligned} Q(P) &= \frac{1}{2}\omega^2 \varrho^2 \sin^2 \vartheta = \frac{GM}{\varrho} q \left(\frac{\varrho}{a_0}\right)^3 \frac{2\sqrt{\pi}}{3} \left[Y_{00}(\Omega) - \frac{1}{\sqrt{5}} Y_{20}(\Omega) \right] = \\ &= \frac{1}{3} \frac{GM}{\varrho} q \left(\frac{\varrho}{a_0}\right)^3 [1 - P_2^{(0)}(\cos \vartheta)]. \end{aligned}$$

Připomeňme, že potenciál odstředivých sil není na rozdíl od gravitačního potenciálu harmonickou funkcí; splňuje rovnici

$$(2.16) \quad \Delta Q = 2\omega^2 \neq 0.$$

Parametr q vystupující v (2.15) je definován

$$(2.17) \quad q = \omega^2 a_0^3 / (GM).$$

Geometrické místo bodů splňujících podmíinku

$$(2.18) \quad W = W_0,$$

kde W_0 je konstanta, představuje uzavřenou plochu konstantního geopotenciálu čili plochu hladinovou (ekvipotenciální). Konstanta W_0 tuto plochu definuje rozměrově, soubor Stokesových parametrů tvarově. Místo konstanty W_0 zavedeme poměr

$$(2.19) \quad GM/W_0 = R_0,$$

který budeme nazývat délkovým (rozměrovým) faktorem geopotenciálu. Považujeme-li R_0 , resp. W_0 za parametr, dostaneme systém ekvipotenciálních, uzavřených, nikde se neprotínajících ploch. Jedna z nich má výjimečné postavení: v oblastech oceánů a moří se ztotožňuje s jejich klidnými středními hladinami*), a tudíž představuje povrch celého zemského tělesa. Zavedl ji Listing (1873) [21] a nazval ji geoidem. Její geopotenciál budeme označovat W_0 a její rozměrový faktor R_0 . Veličina W_0 nebo lépe

$$(2.20) \quad R_0 = GM/W_0$$

je základní veličinou přímo a jednoznačně definující **rozměr zemského tělesa**. Další veličiny určující rozměr tělesa, např. velká poloosa zemského elipsoidu, jsou již zprostředkovány a závisejí na dodatečných podmínkách, které je třeba formulovat.

2.3 Transformace gravitačního potenciálu a potenciálu odstředivých sil při otočení souřadnicového systému. Transformace Stokesových parametrů

Gravitační potenciál $V(P)$ ve vnitřním bodu $P(\rho, \Omega)$ uvažujeme ve tvaru (2.3); sférický souřadnicový systém, ve kterém se vyjadřuje, označme $S(\rho, \theta, \Lambda)$. Přejdeme k jinému sférickému souřadnicovému systému $S'(\rho', \theta', \Lambda')$, který vznikne otočením původního systému S kolem počátku souřadnic. Otočení popíšeme úhly α, β, γ . Potenciál $V(P)$ v téže době se vyjadřuje v systému S' takto:

$$V(P) = \frac{GM}{\rho'} \sum_{j=0}^{\infty} \left(\frac{a_0}{\rho'} \right)^j \sum_{M=-j}^j A'_{jM} Y_{jM}(\theta', \Lambda').$$

*) Zde pomíjíme případné rozdíly hladin oceánů a vliv stálé části slapového potenciálu od Měsice a Slunce.

Symbolem $\hat{D}(\alpha, \beta, \gamma)$ označíme operátor rotace systému. Poněvadž sférické funkce $Y_{jm}(\vartheta, \Lambda)$ jsou kovariantní irreducibilní tenzory, můžeme vyjádřit působení operátoru rotace takto:

$$(2.21) \quad Y_{jM}(\vartheta', \Lambda') = \hat{D}(\alpha, \beta, \gamma) Y_{jm}(\vartheta, \Lambda) = \sum_{m=-j}^j Y_{jm}(\vartheta, \Lambda) D_{mM}^j(\alpha, \beta, \gamma),$$

kde $D_{mM}^j(\alpha, \beta, \gamma)$ jsou Wignerovy matice. Dosazením do (2.20) dostaneme

$$(2.22) \quad V(P) = \frac{GM}{\rho'} \sum_{j=0}^{\infty} \left(\frac{a_0}{\rho'} \right)^j \sum_{m=-j}^j Y_{jm}(\vartheta, \Lambda) \sum_{M=-j}^j A'_{jM} D_{mM}^j(\alpha, \beta, \gamma).$$

Uvážíme-li, že při otočení souřadné soustavy kolem počátku se délka průvodiče nemění, tj. $\rho = \rho'$, vyplýne srovnáním (2.22) s (2.3) vztah mezi komplexními Stokesovými parametry v obou soustavách

$$(2.23) \quad A_{jm} = \sum_{M=-j}^j A'_{jM} D_{mM}^j(\alpha, \beta, \gamma).$$

Poněvadž operátor rotace je unitární maticový operátor, tj. inverzní operátor $\hat{D}^{-1}(\alpha, \beta, \gamma) = \hat{D}^*(\alpha, \beta, \gamma)$, plyne odtud

$$(2.24) \quad \sum_{m=-j}^j D_{mM}^j(\alpha, \beta, \gamma) D_{mM'}^{j*}(\alpha, \beta, \gamma) = \delta_{MM'}.$$

Vynásobíme-li (2.23) $D_{mM'}^{j*}(\alpha, \beta, \gamma)$ a sečteme přes index m , dostaneme

$$(2.25)$$

$$\sum_{m=-j}^j A_{jm} D_{mM'}^{j*}(\alpha, \beta, \gamma) = \sum_{M=-j}^j A'_{jM} \sum_{m=-j}^j D_{mM}^j(\alpha, \beta, \gamma) D_{mM'}^{j*}(\alpha, \beta, \gamma).$$

Vzhledem k platnosti (2.24) dostáváme inverzní vztah k (2.23)

$$(2.26) \quad A'_{jM} = \sum_{m=-j}^j A_{jm} D_{mM}^j(\alpha, \beta, \gamma).$$

Wignerovy matice $D_{mM}^j(\alpha, \beta, \gamma)$ jsou definovány

$$(2.27) \quad D_{mM}^j(\alpha, \beta, \gamma) = \exp(-im\alpha) d_{mM}^j(\beta) \exp(-iM\gamma),$$

kde

$$(2.28) \quad d_{mM}^j(\beta) = (-1)^{j-M} [(j+m)! (j-m)! (j+M)! (j-M)!]^{1/2} \\ \sum_k (-1)^k \frac{\left(\cos \frac{\beta}{2} \right)^{m+M+2k} \left(\sin \frac{\beta}{2} \right)^{2j-m-M-2k}}{k! (j-m-k)! (j-M-k)! (m+M+k)!}.$$

Ve vzorci (2.28) se sčítá přes přirozená čísla k , pro která jsou všechny faktoriály v (2.28) nezáporné.

Pro význam transformace uvedeme tabulky matic $d_{mM}^j(\beta)$ pro $j = 1$ a $j = 2$ (tab. 2.1, tab. 2.2).

Tabulka 2.1

Matice $d_{mM}^1(\beta)$

M	1	0	-1
m			
1	$(1 + \cos \beta)/2$	$-\sin \beta/\sqrt{2}$	$(1 - \cos \beta)/2$
0	$\sin \beta/\sqrt{2}$	$\cos \beta$	$-\sin \beta/\sqrt{2}$
-1	$(1 - \cos \beta)/2$	$\sin \beta/\sqrt{2}$	$(1 + \cos \beta)/2$

2.4 Tíže ve vnějším prostoru

Tíže $\mathbf{g}(\varrho, \Omega)$ ve vnějším bodu $P(\varrho, \Omega)$ míří kolmo na ekvipotenciální plochu W procházející bodem P a je definována

$$(2.29) \quad \mathbf{g}(\varrho, \Omega) = -\nabla W(\varrho, \Omega) = -\nabla V(\varrho, \Omega) - \nabla Q(\varrho, \Omega).$$

Abychom mohli tíhové zrychlení explicitně vyjádřit, musíme provést operaci gradient na $\varrho^{-J-1} Y_{jm}(\Omega)$ a na $\varrho^2 Y_{00}(\Omega) - 5^{-1/2} Y_{20}(\Omega)$. Gradient převede skalárni sférické funkce $Y_{jm}(\Omega)$ na sférické vektory $\mathbf{Y}_{jm}^{(\mu)}(\Omega)$, ($\mu = 0, \pm 1$).

Diferenciální operátor ∇ se vyjádří ve sférické soustavě

$$(2.30) \quad \nabla = \mathbf{e}_\varrho \nabla_\varrho + \mathbf{e}_\vartheta \nabla_\vartheta + \mathbf{e}_\Lambda \nabla_\Lambda,$$

kde

$$(2.31) \quad \nabla_\varrho = \frac{\partial}{\partial \varrho}, \quad \nabla_\vartheta = \frac{1}{\varrho} \frac{\partial}{\partial \vartheta}, \quad \nabla_\Lambda = \frac{1}{\varrho \sin \vartheta} \frac{\partial}{\partial \Lambda}.$$

Označíme-li \mathbf{n} jednotkovou normálu ϱ/ϱ , lze zapsat (2.30) ve tvaru

$$(2.32) \quad \nabla = \mathbf{n} \frac{\partial}{\partial \varrho} + \frac{1}{\varrho} \nabla_\Omega,$$

kde ∇_Ω je úhlová část operátoru ∇ , tj.

$$(2.33) \quad (\nabla_\Omega)_\vartheta = \frac{\partial}{\partial \vartheta}, \quad (\nabla_\Omega)_\Lambda = \frac{1}{\sin \vartheta} \frac{\partial}{\partial \Lambda}.$$

Tabuľka 2.2
Matice $d_{mM}^2(\beta)$

M	2	1	0	-1	-2
m	$(1 + \cos \beta)^2/4$ $\sin \beta(1 + \cos \beta)/2$ $\sqrt{3}\sin^2 \beta/(2\sqrt{2})$ $\sin \beta(1 - \cos \beta)/2$ $(1 - \cos \beta)^2/4$	$-\sin \beta(1 + \cos \beta)/2$ $(2\cos^2 \beta + \cos \beta - 1)/2$ $\sqrt{3}\sin \beta \cos \beta/\sqrt{2}$ $-(2\cos^2 \beta - \cos \beta - 1)/2$ $\sin \beta(1 - \cos \beta)/2$	$\sqrt{3}\sin^2 \beta/(2\sqrt{2})$ $-\sqrt{3}\sin \beta \cos \beta/\sqrt{2}$ $(3\cos^2 \beta - 1)/2$ $\sqrt{3}\sin \beta \cos \beta/\sqrt{2}$ $\sqrt{3}\sin^2 \beta/(2\sqrt{2})$	$-\sin \beta(1 - \cos \beta)/2$ $-(2\cos^2 \beta - \cos \beta - 1)/2$ $-\sqrt{3}\sin \beta \cos \beta/\sqrt{2}$ $(2\cos^2 \beta + \cos \beta - 1)/2$ $\sin \beta(1 + \cos \beta)/2$	$(1 - \cos \beta)^2/4$ $-\sin \beta(1 - \cos \beta)/2$ $\sqrt{3}\sin^2 \beta/(2\sqrt{2})$ $-\sin \beta(1 + \cos \beta)/2$ $(1 + \cos \beta)^2/4$

Vektory \mathbf{e}_ϱ , \mathbf{e}_ϑ , \mathbf{e}_Λ jsou bázové vektory tvořící pravotočivý systém, tj.

$$(2.34) \quad \mathbf{e}_\varrho \times \mathbf{e}_\vartheta = \mathbf{e}_\Lambda; \quad \mathbf{e}_\vartheta \times \mathbf{e}_\Lambda = \mathbf{e}_\varrho; \quad \mathbf{e}_\Lambda \times \mathbf{e}_\varrho = \mathbf{e}_\vartheta.$$

Sférické bázové vektory \mathbf{e}_ϱ , \mathbf{e}_ϑ , \mathbf{e}_Λ jsou závislé na úhlových souřadnicích a platí pro ně

$$(2.35)$$

$$\begin{aligned} \frac{\partial \mathbf{e}_\varrho}{\partial \varrho} &= \frac{\partial \mathbf{e}_\vartheta}{\partial \varrho} = \frac{\partial \mathbf{e}_\Lambda}{\partial \varrho} = 0; \quad \frac{\partial \mathbf{e}_\varrho}{\partial \vartheta} = \mathbf{e}_\Lambda; \quad \frac{\partial \mathbf{e}_\vartheta}{\partial \vartheta} = -\mathbf{e}_\varrho; \quad \frac{\partial}{\partial \vartheta} \mathbf{e}_\Lambda = 0; \\ \frac{\partial}{\partial \Lambda} \mathbf{e}_\varrho &= \mathbf{e}_\Lambda \sin \vartheta; \quad \frac{\partial}{\partial \Lambda} \mathbf{e}_\vartheta = \mathbf{e}_\Lambda \cos \vartheta; \quad \frac{\partial}{\partial \Lambda} \mathbf{e}_\Lambda = -\mathbf{e}_\varrho \sin \vartheta - \mathbf{e}_\vartheta \cos \vartheta \end{aligned}$$

a dále jejich divergence a rotace jsou

$$(2.36) \quad \nabla \cdot \mathbf{e}_\varrho = \frac{2}{\varrho}; \quad \nabla \cdot \mathbf{e}_\vartheta = \frac{1}{\varrho} \cot \vartheta; \quad \nabla \cdot \mathbf{e}_\Lambda = 0;$$

$$\nabla \times \mathbf{e}_\varrho = 0; \quad \nabla \times \mathbf{e}_\vartheta = \frac{1}{\varrho} \mathbf{e}_\Lambda; \quad \nabla \times \mathbf{e}_\Lambda = \frac{1}{\varrho} \cot \vartheta \mathbf{e}_\varrho - \frac{1}{\varrho} \mathbf{e}_\vartheta.$$

Sférické vektory $\mathbf{Y}_{jm}^{(\lambda)}(\vartheta, \Lambda)$ se definují takto

$$\begin{aligned} (2.37) \quad \mathbf{Y}_{jm}^{(1)}(\Omega) &= \frac{1}{\sqrt{[j(j+1)]}} \nabla_\Omega \mathbf{Y}_{jm}(\Omega), \\ \mathbf{Y}_{km}^{(0)}(\Omega) &= \frac{-1}{\sqrt{[j(j+1)]}} (\mathbf{n} \times \nabla_\Omega) \mathbf{Y}_{jm}(\Omega), \\ \mathbf{Y}_{jm}^{(-1)}(\Omega) &= \mathbf{n} \mathbf{Y}_{jm}(\Omega). \end{aligned}$$

Sférické vektory $\mathbf{Y}_{jm}^{(\lambda)}(\Omega)$ ($\lambda = 0, \pm 1$) mají tu přednost, že jsou výhodně orientovány vzhledem ke směru průvodiče $\mathbf{n} = \varrho/\varrho$, tj. $\mathbf{Y}_{jm}^{(-1)}(\Omega)$ (podélný vektor) je paralelní se směrem \mathbf{n} a vektory $\mathbf{Y}_{jm}^{(0)}(\Omega)$ a $\mathbf{Y}_{jm}^{(1)}(\Omega)$ (příčné vektory) jsou kolmé na směr \mathbf{n} , tj.

$$(2.38) \quad \mathbf{n} \times \mathbf{Y}_{jm}^{(-1)}(\Omega) = 0; \quad \mathbf{n} \cdot \mathbf{Y}_{jm}^{(1)}(\Omega) = \mathbf{n} \cdot \mathbf{Y}_{jm}^{(0)}(\Omega) = 0.$$

Podle uvedených vztahů lze vyjádřit gradient takto

$$(2.39) \quad \nabla[\varrho^{-j-1} \mathbf{Y}_{jm}(\Omega)] = \frac{d\varrho^{-j-1}}{d\varrho} \mathbf{Y}_{jm}^{(-1)}(\Omega) + \sqrt{[j(j+1)]} \varrho^{-j-2} \mathbf{Y}_{jm}^{(1)}(\Omega).$$

Sférický vektor se zapíše takto

$$(2.40) \quad \mathbf{Y}_{jm}^{(\lambda)}(\Omega) = \mathbf{Y}_{jm}^{(\lambda)}(\Omega)|_\varrho \mathbf{e}_\varrho + \mathbf{Y}_{jm}^{(\lambda)}(\Omega)|_\vartheta \mathbf{e}_\vartheta + \mathbf{Y}_{jm}^{(\lambda)}(\Omega)|_\Lambda \mathbf{e}_\Lambda,$$

kde složky lze vyjádřit pomocí sférických funkcí

$$(2.41) \quad \begin{aligned} \mathbf{Y}_{jm}^{(1)}(\Omega)|_{\varrho} &= \mathbf{Y}_{jm}^{(0)}(\varrho)|_{\varrho} = \mathbf{Y}_{jm}^{(-1)}(\Omega)|_{\vartheta} = \mathbf{Y}_{jm}^{(-1)}(\Omega)|_{\Lambda} = 0, \\ \mathbf{Y}_{jm}^{(1)}(\Omega)|_{\vartheta} &= \frac{1}{\sqrt{[j(j+1)]}} \frac{\partial}{\partial \vartheta} \mathbf{Y}_{jm}(\Omega), \\ \mathbf{Y}_{jm}^{(1)}(\Omega)|_{\Lambda} &= \frac{im}{\sqrt{[j(j+1)]}} \frac{1}{\sin \vartheta} \mathbf{Y}_{jm}(\Omega), \\ \mathbf{Y}_{jm}^{(0)}(\Omega)|_{\vartheta} &= \frac{-m}{\sqrt{[j(j+1)]}} \frac{1}{\sin \vartheta} \mathbf{Y}_{jm}(\Omega), \\ \mathbf{Y}_{jm}^{(0)}(\Omega)|_{\Lambda} &= -\frac{i}{\sqrt{[j(j+1)]}} \frac{\partial}{\partial \vartheta} \mathbf{Y}_{jm}(\Omega), \\ \mathbf{Y}_{jm}^{(-1)}(\Omega)|_{\varrho} &= \mathbf{Y}_{jm}(\Omega). \end{aligned}$$

$$(2.42) \quad \begin{aligned} \frac{\partial \mathbf{Y}_{jm}(\Omega)}{\partial \vartheta} &= \frac{1}{2} \{ \sqrt{[(j-m)(j+m+1)]} \exp(-i\Lambda) \mathbf{Y}_{jm+1}(\Omega) - \\ &- \sqrt{[(j+m)(j-m+1)]} \exp(i\Lambda) \mathbf{Y}_{jm-1}(\Omega) \}. \end{aligned}$$

Využijeme-li uvedených vztahů, můžeme vyjádřit podle (2.29), (2.3) a (2.15) intenzitu \mathbf{g} pomocí sférických vektorů ve tvaru

$$(2.43) \quad \begin{aligned} \mathbf{g}(\varrho, \vartheta, \Lambda) &= \frac{GM}{\varrho^2} \sum_{jm}^{\infty} \left(\frac{a_0}{\varrho}\right)^j A_{jm} \{ (j+1) \mathbf{Y}_{jm}^{(-1)}(\Omega) - \sqrt{[j(j+1)]} \mathbf{Y}_{jm}^{(1)}(\Omega) \} - \\ &- \frac{GM}{\varrho^2} q \left(\frac{\varrho}{a_0}\right)^3 \frac{4\sqrt{\pi}}{3} \left\{ \mathbf{Y}_{00}^{(-1)}(\Omega) - \frac{1}{\sqrt{5}} \left[\mathbf{Y}_{20}^{(-1)}(\Omega) + \sqrt{\left(\frac{3}{2}\right)} \mathbf{Y}_{20}^{(1)}(\Omega) \right] \right\}. \end{aligned}$$

Vyjádříme-li tíhové zrychlení ve složkách, dostaneme

$$(2.44) \quad \mathbf{g}|_{\varrho} = \frac{GM}{\varrho^2} \sum_{jm}^{\infty} (j+1) A_{jm} \left(\frac{a_0}{\varrho}\right)^j \mathbf{Y}_{jm}(\Omega) - \omega^2 \varrho \sin^2 \vartheta,$$

$$(2.45) \quad \begin{aligned} \mathbf{g}|_{\vartheta} &= -\frac{GM}{2\varrho^2} \sum_{jm}^{\infty} A_{jm} \left(\frac{a_0}{\varrho}\right)^j \{ [(j-m)(j+m+1)] \exp(-i\Lambda) \mathbf{Y}_{jm+1}(\Omega) - \\ &- \sqrt{[(j+m)(j-m+1)]} \exp(i\Lambda) \mathbf{Y}_{jm-1}(\Omega) \} + \varrho \omega^2 \cos \vartheta \sin \vartheta, \end{aligned}$$

$$(2.46) \quad \mathbf{g}|_{\Lambda} = -i \frac{GM}{\varrho^2} \sum_{jm} m A_{jm} \left(\frac{a_0}{\varrho}\right)^j \frac{1}{\sin \vartheta} A_{jm} \mathbf{Y}_{jm}(\Omega).$$

Složky odstředivých zrychlení vystupující ve (2.44) a (2.45) můžeme vyjádřit pomocí sférických funkcí

$$(2.47) \quad \mathbf{g}_\varrho|_\varrho = -\omega^2 \varrho \sin^2 \vartheta = -\frac{4\sqrt{\pi}}{3} \omega^2 \varrho \left[Y_{00}(\Omega) - \frac{1}{\sqrt{5}} Y_{20}(\Omega) \right],$$

$$(2.48) \quad \begin{aligned} \mathbf{g}_\varrho|_\vartheta &= \omega^2 \varrho \cos \vartheta \sin \vartheta = \frac{2\sqrt{(2\pi)}}{\sqrt{(3.5)}} \omega^2 \varrho \exp(-i\Lambda) Y_{21}(\Omega) = \\ &= \frac{GM}{\varrho^2} \frac{\sqrt{(2\pi)}}{\sqrt{(3.5)}} \left(\frac{\varrho}{a_0} \right)^3 [\exp(-i\Lambda) Y_{21}(\Omega) - \exp(i\Lambda) Y_{2-1}(\Omega)]. \end{aligned}$$

Označíme-li $\cos \alpha_\varrho = \sin \varphi$, $\cos \alpha_\vartheta = \cos \varphi \cos \lambda$, $\cos \alpha_\Lambda = \cos \varphi \sin \lambda$ (viz 1.2) směrové kosiny normály ekvipotenciální plochy, pak platí

$$(2.49) \quad \cos \alpha_\varrho : \cos \alpha_\vartheta : \cos \alpha_\Lambda = \mathbf{g}|_\varrho : \mathbf{g}|_\vartheta : \mathbf{g}|_\Lambda.$$

Sférické vektory $\mathbf{Y}_{jm}^{(\lambda)}(\Omega)$, ($\lambda = 0, \pm 1$) nejsou irreducibilní sférické tenzory hodnosti 1, takže při otočení souřadnicové soustavy se netransformují pomocí D -matic podle (2.27). Irreducibilní tenzory hodnosti 1 jsou sférické tenzory $\mathbf{Y}_{jm}^k(\Omega)$, ($k = j-1, j, j+1$), které jsou vlastními funkcemi úhlové části Laplaceova operátoru Δ_Ω s vlastními čísly $k(k+1)$, tj. splňují rovnici

$$(2.50) \quad [\Delta_\Omega + k(k+1)] \mathbf{Y}_{jm}^k(\Omega) = 0.$$

Sférické vektory $\mathbf{Y}_{jm}^k(\Omega)$ se vyjadřují pomocí sférických vektorů $\mathbf{Y}_{jm}^{(\lambda)}(\Omega)$, ($\lambda = 0, \pm 1$) takto:

$$(2.51) \quad \begin{aligned} \mathbf{Y}_{jm}^{j+1}(\Omega) &= \frac{1}{\sqrt{(2j+1)}} [\sqrt{j} \mathbf{Y}_{jm}^{(1)}(\Omega) - \sqrt{j+1} \mathbf{Y}_{jm}^{(-1)}(\Omega)], \\ \mathbf{Y}_{jm}^j(\Omega) &= \mathbf{Y}_{jm}^{(0)}(\Omega), \\ \mathbf{Y}_{jm}^{j-1}(\Omega) &= \frac{1}{\sqrt{(2j+1)}} [\sqrt{j+1} \mathbf{Y}_{jm}^{(1)}(\Omega) + \sqrt{j} \mathbf{Y}_{jm}^{(-1)}(\Omega)]. \end{aligned}$$

Dosadíme-li do vzorce (2.43) pro tříhové zrychlení za vektory $\mathbf{Y}_{jm}^{(\lambda)}(\Omega)$ sférické vektory $\mathbf{Y}_{jm}^k(\Omega)$ podle obrácených vztahů (2.51), dostaneme

$$(2.52) \quad \begin{aligned} \mathbf{g}(\varrho, \Omega) &= -\frac{GM}{\varrho^2} \sum_{jm} \left(\frac{a_0}{\varrho} \right)^j \sqrt{[(j+1)(2j+1)]} A_{jm} \mathbf{Y}_{jm}^{j+1}(\Omega) + \\ &+ \frac{GM}{\varrho^2} q \left(\frac{\varrho}{a_0} \right)^3 \frac{4\sqrt{\pi}}{3} [Y_{00}^1(\Omega) + \frac{1}{\sqrt{2}} Y_{20}^1(\Omega)]. \end{aligned}$$

Otočíme-li souřadnicovou soustavu podle Eulerových úhlů α, β, γ a označíme-li čárkou souřadnice v otočené soustavě ($\varrho = \varrho'$), můžeme psát transformační vzorce pro sférické vektory $\mathbf{Y}_{jm}^k(\Omega)$ takto:

$$(2.53) \quad \mathbf{Y}_{jm}^L(\Omega') = \sum_{m=-j}^j D_{mM}^j(\alpha, \beta, \gamma) \mathbf{Y}_{jM}^L(\Omega)$$

a inverzní transformace vzhledem k unitárnosti D -matic zni

$$(2.54) \quad \mathbf{Y}_{jm}^L(\Omega) = \sum_{M=-j}^j D_{mM}^{j*}(\alpha, \beta, \gamma) \mathbf{Y}_{jM}^L(\Omega').$$

Speciálně máme

$$(2.55) \quad \mathbf{Y}_{00}^1(\Omega) = D_{00}^{0*}(\alpha, \beta, \gamma) \mathbf{Y}_{00}^1(\Omega'),$$

$$\mathbf{Y}_{20}^1(\Omega) = \sum_{M=-2}^2 D_{0M}^{2*}(\alpha, \beta, \gamma) \mathbf{Y}_{2M}^1(\Omega').$$

Pro D -matice speciálně platí

$$(2.56) \quad D_{00}^L(\alpha, \beta, \gamma) = P_L(\cos \beta),$$

$$D_{0m}^L(\alpha, \beta, \gamma) = \sqrt{\left(\frac{4\pi}{2L+1}\right)} Y_{L-m}(\beta, \gamma) = (-1)^m \sqrt{\left(\frac{4\pi}{2L+1}\right)} Y_{Lm}^*(\beta, \gamma).$$

Dosazením za $\mathbf{Y}_{jM}^L(\Omega)$ podle vzorců (2.54) a (2.56) upravíme vzorec pro tíhové zrychlení v otočené soustavě

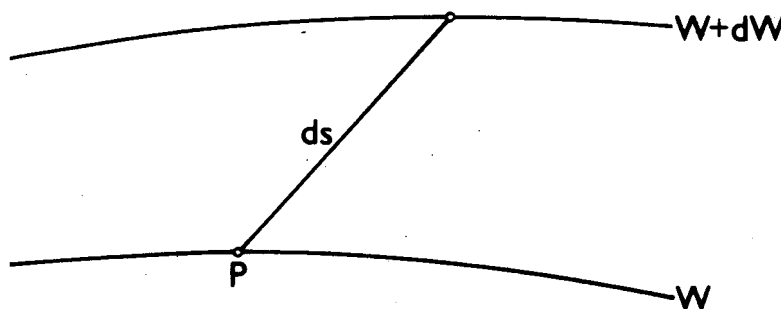
$$(2.57) \quad \mathbf{g}(\varrho, \Omega') = -\frac{GM}{\varrho^2} \sum_{jmM} \left(\frac{a_0}{\varrho}\right)^j \sqrt{[(j+1)(2j+1)]} A_{jm} D_{mM}^{j*}(\alpha, \beta, \gamma) \times$$

$$\times \mathbf{Y}_{jM}^{j+1}(\Omega') + \frac{GM}{\varrho^2} \left(\frac{\varrho}{a_0}\right)^3 \frac{4\sqrt{\pi}}{3} q [D_{00}^{0*}(\alpha, \beta, \gamma) \mathbf{Y}_{00}^1(\Omega') +$$

$$+ \frac{1}{\sqrt{2}} \sum_{M=-2}^2 D_{0M}^{2*}(\alpha, \beta, \gamma) \mathbf{Y}_{2M}^1(\Omega')] =$$

$$= -\frac{GM}{\varrho^2} \sum_{jm} \left(\frac{a_0}{\varrho}\right)^j \sqrt{[(j+1)(2j+1)]} A'_{jm} \mathbf{Y}_{jM}^{j+1}(\Omega') +$$

$$+ \frac{GM}{\varrho^2} \left(\frac{\varrho}{a_0}\right)^3 \frac{4\sqrt{\pi}}{3} q \left[\mathbf{Y}_{00}^1(\Omega') + \frac{\sqrt{(2\pi)}}{\sqrt{5}} \sum_{M=-2}^2 (-1)^M \mathbf{Y}_{2M}^1(\Omega') Y_{2M}^*(\beta, \gamma) \right].$$



Obr. 2.1 Změna geopotenciálu při posuvu po dráze ds .

Použitím vztahů (2.51) a (2.41) můžeme vyjádřit složky tříhového zrychlení analogickým způsobem podle (2.44—2.46).

Posuvu potenciálového bodu P po dráze \mathbf{ds} odpovídá změna geopotenciálu dW (obr. 2.1)

$$(2.58) \quad dW = \mathbf{g} \cdot \mathbf{ds}.$$

2.5 Listingův geoid

2.5.1 Mongeův tvar geoidu

Listingův geoid je definován podle (2.18)

$$(2.59) \quad W(\varrho, \vartheta, \Lambda) = W_0 = GM/R_0,$$

což je rovnice plochy v souřadnicích $(\varrho, \vartheta, \Lambda)$. Pro některé účely je výhodné vyjádřit explicitně geocentrický průvodič bodu geoidu jako funkci úhlových souřadnic (ϑ, Λ) , tzv. Mongeův tvar geoidu. V dalším budeme používat dvou ekvivalentních reprezentací pro geocentrický průvodič geoidu.

$$(2.60) \quad \varrho = a_1 \sum_{j=0}^{\infty} \sum_{m=-j}^j E_{jm} Y_{jm}(\vartheta, \Lambda),$$

resp.

$$(2.61) \quad \varrho = R_0 \left[1 + A_0^{(0)} + \sum_{n=2}^{\infty} \sum_{k=0}^n (A_n^{(k)} \cos k\Lambda + B_n^{(k)} \sin k\Lambda) P_n^{(k)}(\cos \vartheta) \right].$$

Tabulka 2.3

Koeficienty v rozvoji průvodiče geoidu u zonálních členů

n	$A_n^{(0)}$ $[10^{-9}]$	$R_0 A_n^{(0)}$ $[m]$
2	-2 241 889	-14 266,65
3	2 553	16,25
4	3 117	19,84
5	228	1,46
6	-553	-3,52
7	369	2,35
8	211	1,35
9	119	0,76
10	247	1,57
11	-234	-1,49
12	200	1,28